

III-98 土中土圧計の応答特性

名古屋大学 正会員 市原 松平
名古屋大学 正会員 ○松沢 宏
日本道路公団 正会員 石井 恒久

1. まえがき

土圧計測に影響する因子には受圧器の形状、大きさからいへて土圧を計測する機構すなむち、受圧部の剛性(変形量と復元力)などがあることがわかつてゐる。¹⁾幾多の研究によれば、土中土圧計は軽量かつ偏平で、有効径 B ができるだけ大きいものが下く、有効径 B と厚さ H の比が $B/H > 5$ であることが好ましい。WESによれば、受感部近くの土に生じうるアーチングを防ぐために、土中土圧計の受圧板の面積 A は有効径 B の $1/2000$ 以下にする必要があると提唱している。¹⁾また、Trollopeは受圧板の復元力について、圧力の減少に対して、受感部自身の残留変形による残留指示値を示すために、受圧板の復元力が $1.0 \sim 2.0 \times 10^{-6} \text{ cm}^2/\text{kg}/\text{cm}^2$ 以下ではなくてはならないと述べている。¹⁾

ここでは、上記の条件を満足し、十分な復元力を有する下に試作した偏平な土中土圧計の検定結果について述べる。

2. 試作した土圧計

今回試作した土圧計は外径 $D = 19 \text{ cm}$ 、厚さ $H = 3 \text{ cm}$ 、有効径 $B = 15 \text{ cm}$ であつて、重さは約6kgである。この土圧計は電気計測系・間接作用型であり、写真-1に受圧器の外観を、図-1に受圧器の断面を示す。土圧を受ける一次膜は厚さ 0.2 mm のリン青銅板でできており、計測用の二次膜は直徑 19 cm 、厚さが 0.4 mm であつて、一次膜と二次膜の間にシリコン油が封入されている。一次膜のタワミはこの油を介して二次膜を拡大され、この拡大したタワミによって生じる二次膜のヒステニをフォイルゲージで測定する下にしている。

受圧器は同一形状のものを2台作り、そのうち1台の一次膜には厚さが 2.5 mm の鋼製の補強板を実験室で貼りつけた。

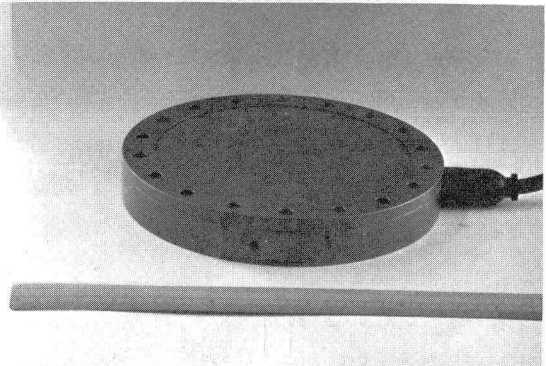
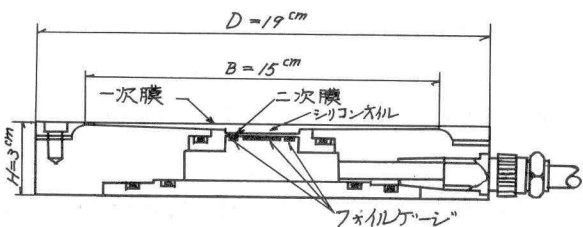


写真-1



3. 検定装置と検定方法

図-2に検定装置の概要を示す。検定土槽は内径 75 cm 、深さ 45 cm の軟鋼製である。検定土槽内の圧力はコンプレッサーとバルブの操作により制御できる。

土圧計の検定は水圧による検定(水圧検定)と砂圧による検定(砂圧検定)を行つた。

水圧検定は検定土槽内に深さが 15~20 cm 程度に水を注入し、受圧器を沈めて状態で空気圧を作用させ、作用圧力と指示計の指示値を記録した。

砂圧検定は検定用の砂（天作川砂、 $G_s = 2.64$, $U_c = 5$, $D_{10} = 0.1 \text{ mm}$, $W = 7.3\%$ ）を所定の密度 γ_d とするように厚さ 45 cm に詰め、ビニールシートのベロースを介して空気圧を作用させたときの土圧計の指示値を記録した。なお、土圧計の受圧器は土槽中央の位置に土被り厚が $0.9B$ となる位置に受圧板を上向きにして水平に埋めた。写真-2 に受圧器設置時の状況を示す。

砂圧検定ではビニールベロースの上に土槽のほぼ中心の位置に変位計を設置し、検定中における砂表面と土槽のふたの距離を電気的に計測し、砂刀の圧縮变形量を測定した。また、砂刀の各所における砂の圧縮量と側壁摩擦の影響を調べるために $10 \text{ cm} \times 10 \text{ cm}$ のトランク板を砂刀中に埋めておいて、検定後にこの沈下計測用の板の沈下量を測定した。

砂圧検定における空気圧の加圧・減圧の繰返して作用させ、繰返し載荷回数と土圧計の指示値との関係を調べた。

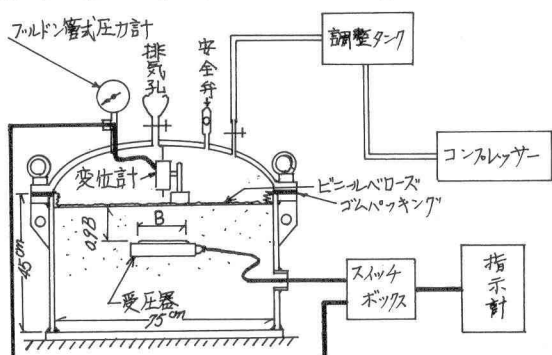


図-2

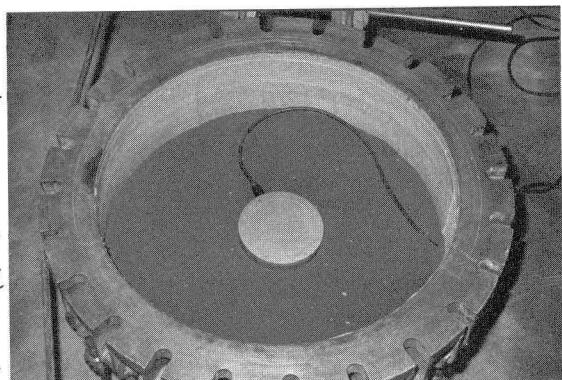


写真-2

4 結果と考察

4-1 検定結果と土圧計の特性

図-3 に比較的堅い砂 ($\gamma_d = 1.55 \text{ g/cm}^3$) における砂圧検定結果の代表の一例を示す。図中の N の値は繰返し載荷のサイクル数である。この図には比較のために水圧検定線と応力集中量 p_e の求め方の説明が示されている。なお、応力集中量とは砂圧検定時ににおける測定圧力 p_m から作用圧力（実の圧力） p_a を差引いた値のことという。

図に示されているように、水圧よりも砂圧による検定線はともに直線的であるが、同一圧力のもとでは砂圧による検定値の方が幾分大き目の値を示した。これは受圧器周囲の土に生じた応力集中に起因するものである。砂圧検定において、上載圧がゼロに戻ったと

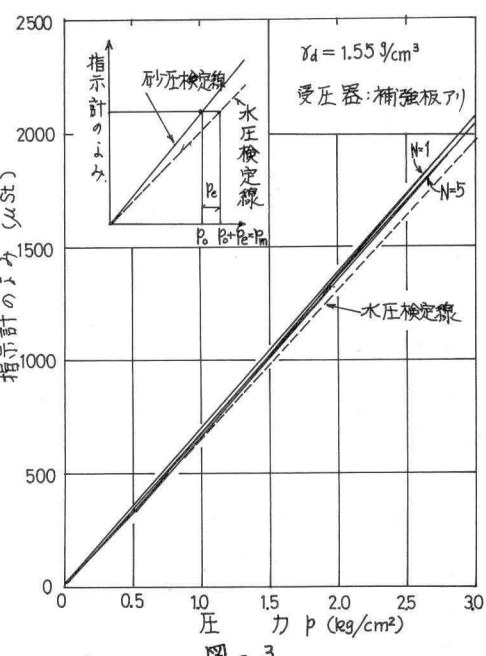


図-3

きの土圧計の指示値はつねに受圧器設置時の値に等しく、このことは受圧板の慣元力が十分にあることを意味している。また、加圧・減圧における砂圧検定線の中のループは実用上無視できる。

この受圧器に生じた応力集中量 p_e は繰返し載荷の回数 N の値が増加するに従い減少するが、 $N = 5$ 程度を越えると p_e の値は変化しなくなかった。これは静的繰返し圧力の作用により、砂が次第に締固められるためであると考える。

以上の考察から、試作した土中土圧計は若干の応力集中の影響を受けるが、アーチ作用の影響は認められず、受圧板の慣元力が十分にあると判断できる。

4-2 側壁摩擦の影響

砂圧検定のうちに、前述の地下計測用の板の沈下量を測定したところ、側壁摩擦の影響は無視しうることがわかった。

4-3 応力集中について

図-3に示した方法で土圧計の応力集中量 p_e を求め、作用圧力 p_0 で除した値 (p_e/p_0) の百分率、すなはち応力集中度を求め、これと検定時の砂の単位体積重量 γ_d に対するもののが図-4である。

図中、白抜きの記号は $N = 1$ のものであり、黒く塗りつぶした記号は $N = 5$ のものである。また、丸印は補強板のない受圧器、三角印は補強板付の受圧器における応力集中度をあらわしている。補強板の有無に関係なく、応力集中度は密度が大きくなるほど小さくなり、また密度の増加にも関係あるが、 N の値の増加(ただし、 $N = 5$ 程度以下)とともに、応力集中度は減少していることが明白である。

Tolovichは土中土圧計に生ずる応力集中は受感部と受圧器周縁部の土の圧縮性の差が原因すると考え、弹性論の立場から土中土圧計に起る応力集中度を求めるための式を導いた(3)

$$\frac{p_e}{p_0} = \frac{\frac{B}{D} \cdot \frac{E_s}{E_0} - 1}{1 + \frac{\pi(1-\nu^2)}{4} \frac{B}{H} \cdot \frac{E_s}{E_0}} \quad \cdots (1)$$

ここに、 E_s は受圧器の受感部の変形係数、 E_0 は土の変形係数、 ν は同じくボアソン比である。

実測と式(1)から求まる応力集中度を比較するために、 E_s から E_s/ν を求めた。 E_s は受感部

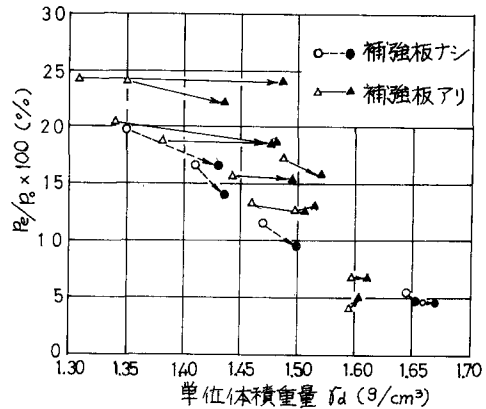


図-4

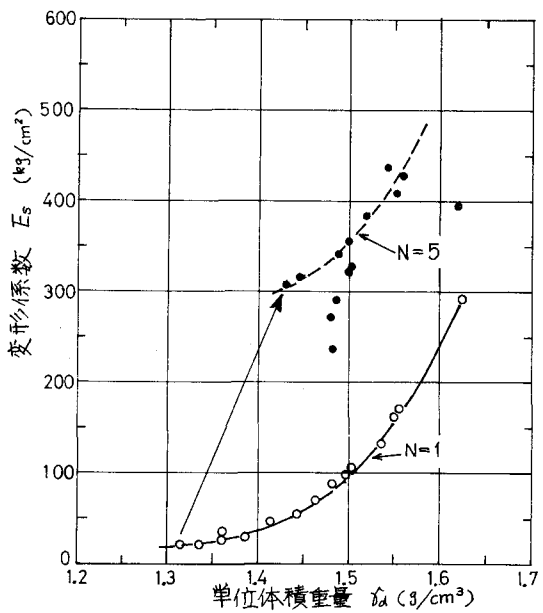


図-5

をアムスラーで一軸的に圧縮したときの圧力とひずみの関係を求めて計算した。灵敏部の作用圧力といひずみの関係は非線形であつたので、 E_g の値は応力～ひずみ曲線の剛性係数とした。この結果、 γ_0 の値は作用圧力が 3.0 kg/cm^2 のとき、補強板がないもので $E_g = 1070 \text{ kg/cm}^2$ 、補強板のあるもので $\gamma_0 = 1340 \text{ kg/cm}^2$ であった。

E_g と γ_0 の値は真チュウ製の薄肉リング（内径 $75 \text{ mm} \times$ 高さ $20 \text{ mm} \times$ 肉厚 0.2 mm ）を用いた土の繰返し載荷試験⁽¹⁾の結果から、 $\gamma_0/\gamma_0 = \frac{K_0}{1+K_0}$ を求め、この γ_0 と土槽内の沈下の測定値と一緒にして、一般化されたフックの法則から求めた。図-5に作用圧力が 3.0 kg/cm^2 における E_g の値を γ_0 の単位体積重量に対する、 $N=1$ と $N=5$ について示してある。

このようにして求めた E_g 、 E_s 、 γ_0 からびに反応層の寸法（B、D、H）を式(1)に代入して求めた P_e/p_0 を E_g/E_g に対する図-6の影をけられた部分がえられる。 $\gamma_0=0.42$ は検定に使用した砂が示すボアソン比の最大値であり、 $\gamma_0=0.3$ は最小値である。式(1)の右端除く他の諸数を一定とみなせば、 P_e/p_0 は γ_0 のみの関数となる。すなわち、図の影をけられた部分は式(1)がヒリヤウ応力集中度（ただし、候用レーベンについて）を示してある。この図には試作した2種類の土圧計による実測値が $N=1$ （自抜きの記号）と $N=5$ について示してある。図によれば、実測の応力集中度は計算値が合致する部分が存在するが、 E_g/γ_0 の値の変化に応じる実測の P_e/p_0 の変化の様相を式(1)で説明するわけにはゆかないとうである。これに因して E_g 、 E_s から γ_0 の値の決定方法にも一考必要すると考える。

5 結 論

今回試作した土圧計に対して、所の密度を要素の一連の検定を行はた。結果、試作した土圧計はアーチ作用の影響を受けて、減圧に対する反応層の発生力を十分もろいことがわかった。アーチ作用や復元力に関する問題は灵敏部の剛性を大きくすることによって解決するといわれているが、その結果、灵敏部と周囲の土の圧縮性がますます大になり、応力集中度が増加してしまう（式(1)、図-6）。しかしながら、今回試作した土圧計の減圧率は $20\sim25\%$ 、ひずみに降りた土界面は数パーセントのオーダーの応力集中度であること、すなわち作用圧力と指示値の関係は実用上直線であり、履歴レーベンを描かなければなりに安定して計測ができると言えることがわかった。

参考文献

- 1) 市原・松平「土質工学20年の歩み・計測」土と基礎, 142, Vol. 17, No. 12, pp. 30~34.
- 2) 市原・古川「土圧計の検定に関する実験的研究」土木学会論文集 105号, 昭和41年1月.
- 3) Tsitorovich, N. A. and D. S. Baranov: "On the accuracy of the method for direct pressure measurements in soils," Proc. 5th Int. Conf. on SMFE, 161.3 1986.
- 4) 市原・松平「壁変位中ににおける土圧特性と裏込め材のせん断特性の関連」土木学会論文報告集 176号, 昭和45年4月.

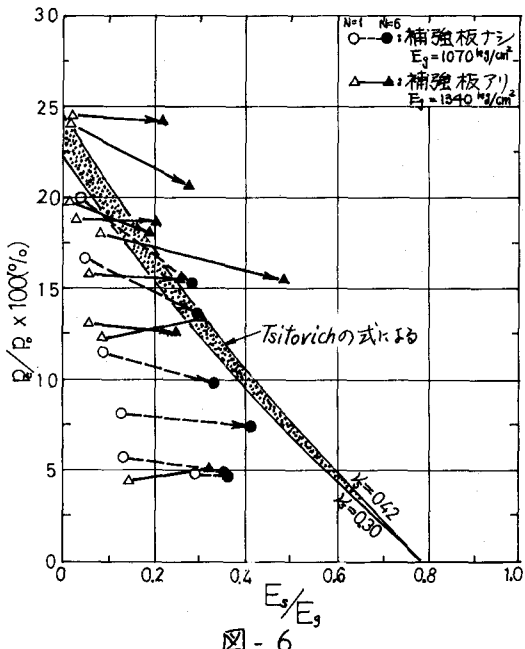


図-6